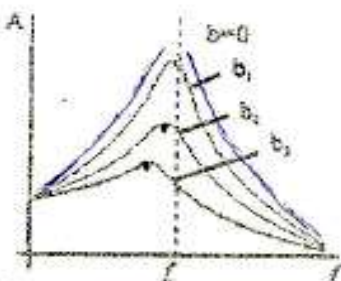


Παρακαλούμε να ληφθούν υπόψη οι ακόλουθες διορθώσεις:

**1. Σχήμα 1.28 (σελίδα 23)**

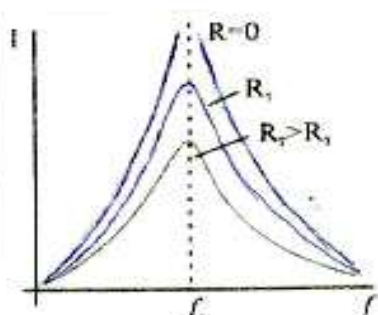


Το διάγραμμα των πλάτους μιας εξαναγκασμένης ταλάντωσης σε συνάρτηση με τη συχνότητα του διεγέρτη για διάφορες τιμές του  $b$  ( $b_1 < b_2$ ). Στις ταλαντώσεις με ακόρετη  $b$  η συγχύτηση παντού είναι λίγο μειούτερη από την  $f_0$ . Όσο αυξάνεται η απόσβεση η αυτώση της συγχύτησης σε εξωτερικούς φυσικούς φορητούς.

Το διάγραμμα του πλάτους μιας εξαναγκασμένης ταλάντωσης σε συνάρτηση με τη συχνότητα του διεγέρτη για διάφορες τιμές του  $b$  ( $b_1 < b_2$ ). Στις ταλαντώσεις με απόσβεση η συχνότητα συντονισμού είναι λίγο μικρότερη από την  $f_0$ . Όσο αυξάνεται η απόσβεση η αυτώση της συγχύτησης σε εξωτερικούς φυσικούς φορητούς γίνεται μεγαλύτερη.

**Σχ. 1.28**

**2. Σχήμα 1.30 (σελίδα 23)**



Σχ. 1.30 Τα διαγράμματα του πλάτους της έντασης του ρεύματος  $I$  σε ένα κύκλωμα  $LC$  που εκτελεί εξαναγκασμένη ηλεκτρική ταλάντωση σε συνάρτηση με τη συχνότητα του διεγέρτη, για διάφορες τιμές της αντίστασης του κυκλώματος ( $R_1 < R_2$ ).

**Σχ. 1.30**

Τα διαγράμματα του πλάτους της έντασης του ρεύματος  $I$  σε ένα κύκλωμα  $LC$  που εκτελεί εξαναγκασμένη ηλεκτρική ταλάντωση σε συνάρτηση με τη συχνότητα του διεγέρτη, για διάφορες τιμές της αντίστασης του κυκλώματος ( $R_1 < R_2$ ).

**3. Σχέση 1.33 (σελίδα 27)**

$$x = 2A \sin\left(\frac{\omega_1 - \omega_2}{2}t\right) \eta \mu \left(\frac{\omega_1 + \omega_2}{2}t\right) \quad (1.33)$$